

Fig. 1

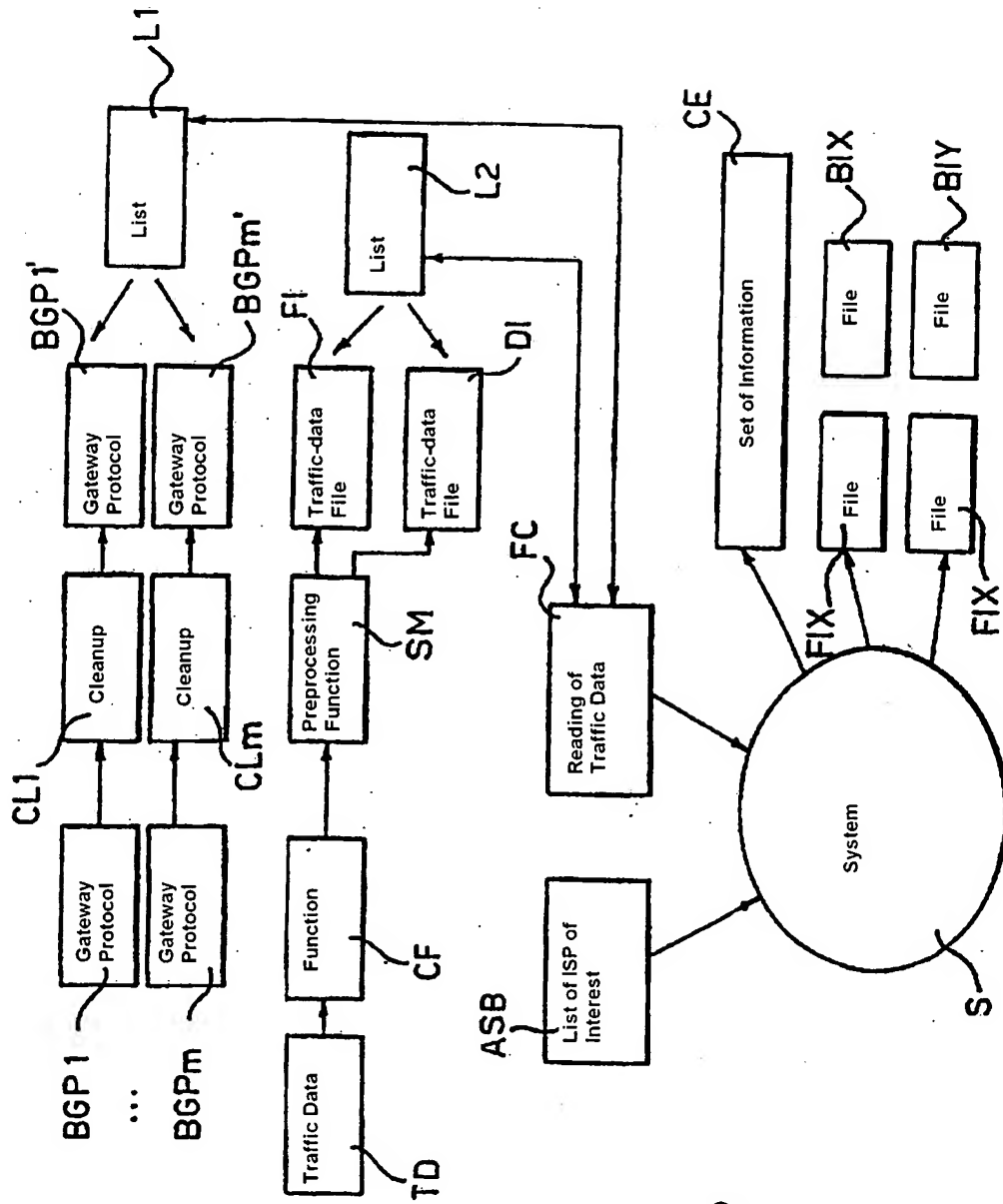


Fig. 2

Fig. 3

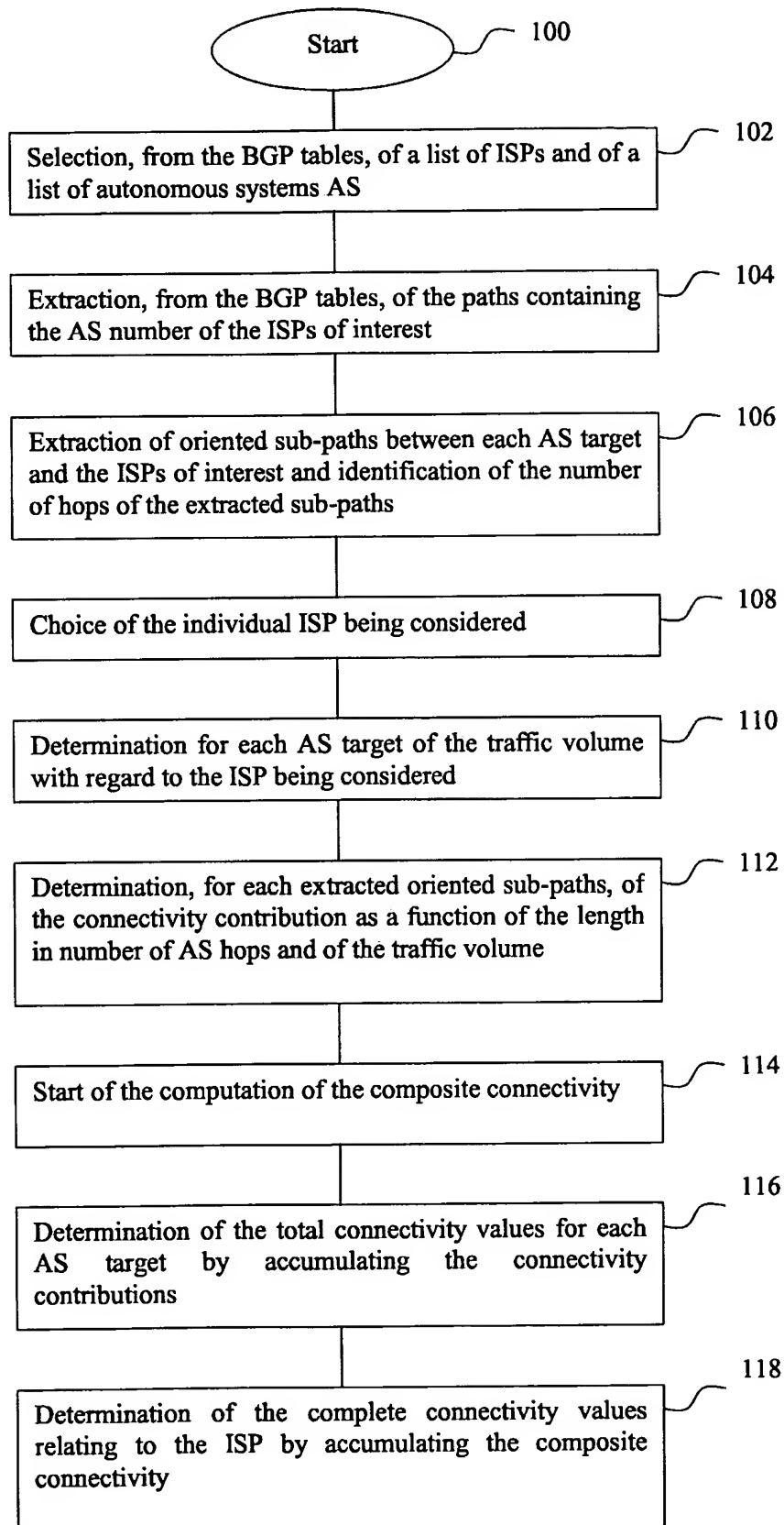


Fig. 4

Connectivity Index	Candidate ISP
68340001236700	1221
68166607760150	701
43067983032850	702
36837685188870	7018
34422146360440	1230
33572812436640	6378
31889401797890	3561
30674866461180	6347
30167603442240	174
29828609480000	6463
29499618088250	1758
27971239484890	3766
27765713309020	1
26889407680480	6461
26608323886430	3649
24470181436660	721
23824517548230	209
23608660666390	6660
23442848766340	2487
22834201491520	2914
21804696487630	3356
21489321914250	2548
20863422269640	1740
20306316408460	3067
19286668170300	7474
17804516322990	6006
16224637073650	286
15781487403940	2826
15056612861290	283
7962069367730	6459

Connectivity Index	Candidate ISP
403082488810820	1
378735878033370	6483
351488950800780	283
348755792132570	1238
341847876497340	3581
341388177475370	2497
335281843351880	7018
335281800628530	1740
328181811749380	2828
315742193078780	2914
308751943044710	1221
289881972876090	701
285312508484450	1765
280909014450580	2548
241808327529770	3548
153501828413220	6459
127881281285550	3358
83980078859170	6378
60349848348140	288
43388083380370	209
39078185847700	6481
24928882874750	702
17385130790020	8997
7798759709200	6347
6323388876770	174
3283908018270	7474
1853835300130	3788
1247083283160	6696

Fig. 5